

# Starkniederschlagshöhen und -spenden gemäß KOSTRA-DWD-2020

## Rasterfeld 143128

(Zeile 143, Spalte 128)

### Regenspende und Bemessungsniederschlagswerte in Abhängigkeit von Wiederkehrzeit T und Dauerstufe D

| Dauerstufe D |     | Wiederkehrzeit T |            |      |            |      |            |      |            |      |            |       |            |       |            |       |            |       |            |
|--------------|-----|------------------|------------|------|------------|------|------------|------|------------|------|------------|-------|------------|-------|------------|-------|------------|-------|------------|
|              |     | 1 a              |            | 2 a  |            | 3 a  |            | 5 a  |            | 10 a |            | 20 a  |            | 30 a  |            | 50 a  |            | 100 a |            |
| min          | Std | mm               | l / (s ha) | mm   | l / (s ha) | mm   | l / (s ha) | mm   | l / (s ha) | mm   | l / (s ha) | mm    | l / (s ha) | mm    | l / (s ha) | mm    | l / (s ha) | mm    | l / (s ha) |
| 5            |     | 6,3              | 210,0      | 7,9  | 263,3      | 8,9  | 296,7      | 10,2 | 340,0      | 12,0 | 400,0      | 13,9  | 463,3      | 15,2  | 506,7      | 16,8  | 560,0      | 19,2  | 640,0      |
| 10           |     | 8,6              | 143,3      | 10,7 | 178,3      | 12,1 | 201,7      | 13,8 | 230,0      | 16,3 | 271,7      | 18,9  | 315,0      | 20,6  | 343,3      | 22,9  | 381,7      | 26,1  | 435,0      |
| 15           |     | 10,0             | 111,1      | 12,5 | 138,9      | 14,0 | 155,6      | 16,1 | 178,9      | 19,0 | 211,1      | 22,0  | 244,4      | 24,0  | 266,7      | 26,6  | 295,6      | 30,3  | 336,7      |
| 20           |     | 11,0             | 91,7       | 13,7 | 114,2      | 15,4 | 128,3      | 17,7 | 147,5      | 20,9 | 174,2      | 24,2  | 201,7      | 26,4  | 220,0      | 29,2  | 243,3      | 33,3  | 277,5      |
| 30           |     | 12,4             | 68,9       | 15,5 | 86,1       | 17,5 | 97,2       | 20,0 | 111,1      | 23,6 | 131,1      | 27,4  | 152,2      | 29,9  | 166,1      | 33,1  | 183,9      | 37,7  | 209,4      |
| 45           |     | 13,9             | 51,5       | 17,4 | 64,4       | 19,6 | 72,6       | 22,4 | 83,0       | 26,5 | 98,1       | 30,7  | 113,7      | 33,5  | 124,1      | 37,1  | 137,4      | 42,3  | 156,7      |
| 60           | 1   | 15,0             | 41,7       | 18,8 | 52,2       | 21,1 | 58,6       | 24,2 | 67,2       | 28,6 | 79,4       | 33,1  | 91,9       | 36,1  | 100,3      | 40,0  | 111,1      | 45,6  | 126,7      |
| 90           | 1,5 | 16,7             | 30,9       | 20,8 | 38,5       | 23,4 | 43,3       | 26,8 | 49,6       | 31,7 | 58,7       | 36,8  | 68,1       | 40,1  | 74,3       | 44,4  | 82,2       | 50,6  | 93,7       |
| 120          | 2   | 17,9             | 24,9       | 22,4 | 31,1       | 25,2 | 35,0       | 28,8 | 40,0       | 34,0 | 47,2       | 39,5  | 54,9       | 43,0  | 59,7       | 47,7  | 66,3       | 54,3  | 75,4       |
| 180          | 3   | 19,7             | 18,2       | 24,7 | 22,9       | 27,7 | 25,6       | 31,8 | 29,4       | 37,6 | 34,8       | 43,5  | 40,3       | 47,4  | 43,9       | 52,6  | 48,7       | 59,9  | 55,5       |
| 240          | 4   | 21,1             | 14,7       | 26,4 | 18,3       | 29,7 | 20,6       | 34,0 | 23,6       | 40,2 | 27,9       | 46,6  | 32,4       | 50,8  | 35,3       | 56,3  | 39,1       | 64,1  | 44,5       |
| 360          | 6   | 23,2             | 10,7       | 29,1 | 13,5       | 32,7 | 15,1       | 37,4 | 17,3       | 44,2 | 20,5       | 51,2  | 23,7       | 55,8  | 25,8       | 61,9  | 28,7       | 70,5  | 32,6       |
| 540          | 9   | 25,5             | 7,9        | 31,9 | 9,8        | 35,9 | 11,1       | 41,1 | 12,7       | 48,6 | 15,0       | 56,3  | 17,4       | 61,3  | 18,9       | 68,0  | 21,0       | 77,5  | 23,9       |
| 720          | 12  | 27,3             | 6,3        | 34,1 | 7,9        | 38,3 | 8,9        | 43,9 | 10,2       | 51,9 | 12,0       | 60,1  | 13,9       | 65,6  | 15,2       | 72,6  | 16,8       | 82,8  | 19,2       |
| 1080         | 18  | 29,9             | 4,6        | 37,4 | 5,8        | 42,1 | 6,5        | 48,2 | 7,4        | 57,0 | 8,8        | 66,0  | 10,2       | 71,9  | 11,1       | 79,7  | 12,3       | 90,8  | 14,0       |
| 1440         | 24  | 32,0             | 3,7        | 40,0 | 4,6        | 44,9 | 5,2        | 51,5 | 6,0        | 60,8 | 7,0        | 70,5  | 8,2        | 76,8  | 8,9        | 85,1  | 9,8        | 97,0  | 11,2       |
| 2880         | 48  | 37,5             | 2,2        | 46,8 | 2,7        | 52,6 | 3,0        | 60,3 | 3,5        | 71,3 | 4,1        | 82,6  | 4,8        | 90,0  | 5,2        | 99,7  | 5,8        | 113,7 | 6,6        |
| 4320         | 72  | 41,1             | 1,6        | 51,4 | 2,0        | 57,7 | 2,2        | 66,1 | 2,6        | 78,2 | 3,0        | 90,6  | 3,5        | 98,7  | 3,8        | 109,4 | 4,2        | 124,7 | 4,8        |
| 5760         | 96  | 43,9             | 1,3        | 54,8 | 1,6        | 61,6 | 1,8        | 70,6 | 2,0        | 83,4 | 2,4        | 96,7  | 2,8        | 105,4 | 3,0        | 116,8 | 3,4        | 133,1 | 3,9        |
| 7200         | 120 | 46,2             | 1,1        | 57,7 | 1,3        | 64,9 | 1,5        | 74,2 | 1,7        | 87,8 | 2,0        | 101,7 | 2,4        | 110,9 | 2,6        | 122,9 | 2,8        | 140,0 | 3,2        |
| 8640         | 144 | 48,1             | 0,9        | 60,1 | 1,2        | 67,6 | 1,3        | 77,4 | 1,5        | 91,5 | 1,8        | 106,0 | 2,0        | 115,6 | 2,2        | 128,1 | 2,5        | 145,9 | 2,8        |
| 10080        | 168 | 49,8             | 0,8        | 62,3 | 1,0        | 70,0 | 1,2        | 80,2 | 1,3        | 94,8 | 1,6        | 109,8 | 1,8        | 119,7 | 2,0        | 132,6 | 2,2        | 151,1 | 2,5        |

# Starkniederschlagshöhen und -spenden gemäß KOSTRA-DWD-2020

## Rasterfeld 143128

(Zeile 143, Spalte 128)

### Örtliche Unsicherheiten in Abhängigkeit von Wiederkehrzeit T und Dauerstufe D

| Dauerstufe D |     | Wiederkehrzeit T |     |     |     |      |      |      |      |       |
|--------------|-----|------------------|-----|-----|-----|------|------|------|------|-------|
|              |     | 1 a              | 2 a | 3 a | 5 a | 10 a | 20 a | 30 a | 50 a | 100 a |
| min          | Std | ± %              | ± % | ± % | ± % | ± %  | ± %  | ± %  | ± %  | ± %   |
| 5            |     | 12               | 12  | 12  | 13  | 13   | 14   | 14   | 14   | 15    |
| 10           |     | 12               | 14  | 15  | 16  | 17   | 18   | 18   | 19   | 19    |
| 15           |     | 14               | 16  | 17  | 18  | 19   | 20   | 21   | 21   | 22    |
| 20           |     | 15               | 17  | 18  | 19  | 21   | 21   | 22   | 22   | 23    |
| 30           |     | 16               | 19  | 20  | 21  | 22   | 23   | 23   | 24   | 24    |
| 45           |     | 17               | 19  | 20  | 21  | 22   | 23   | 24   | 24   | 25    |
| 60           | 1   | 17               | 19  | 20  | 21  | 22   | 23   | 24   | 24   | 25    |
| 90           | 1,5 | 16               | 19  | 20  | 21  | 22   | 23   | 23   | 24   | 24    |
| 120          | 2   | 16               | 18  | 19  | 20  | 21   | 22   | 23   | 23   | 24    |
| 180          | 3   | 15               | 17  | 18  | 19  | 20   | 21   | 22   | 22   | 23    |
| 240          | 4   | 14               | 17  | 17  | 19  | 20   | 21   | 21   | 22   | 22    |
| 360          | 6   | 14               | 16  | 17  | 18  | 19   | 20   | 20   | 21   | 21    |
| 540          | 9   | 13               | 15  | 16  | 17  | 18   | 19   | 19   | 20   | 20    |
| 720          | 12  | 12               | 14  | 15  | 16  | 17   | 18   | 18   | 19   | 19    |
| 1080         | 18  | 12               | 13  | 14  | 15  | 16   | 17   | 17   | 18   | 18    |
| 1440         | 24  | 12               | 13  | 14  | 15  | 16   | 16   | 17   | 17   | 18    |
| 2880         | 48  | 12               | 12  | 13  | 14  | 15   | 15   | 16   | 16   | 17    |
| 4320         | 72  | 12               | 12  | 13  | 13  | 14   | 15   | 15   | 15   | 16    |
| 5760         | 96  | 13               | 13  | 13  | 13  | 14   | 15   | 15   | 15   | 16    |
| 7200         | 120 | 13               | 13  | 13  | 14  | 14   | 15   | 15   | 15   | 16    |
| 8640         | 144 | 14               | 13  | 13  | 14  | 14   | 15   | 15   | 15   | 15    |
| 10080        | 168 | 14               | 14  | 14  | 14  | 14   | 15   | 15   | 15   | 15    |

### Parameter für abweichende T und D

#### Lokationsparameter $\xi$ (Xi)

15,57475441

#### Skalenparameter $\alpha$ (Alpha)

5,41692064

#### Formparameter $\kappa$ (Kappa)

-0,1

#### 1. Koutsoyiannis-Parameter $\theta$ (Theta)

0,04564019

#### 2. Koutsoyiannis-Parameter $\eta$ (Eta)

0,77288177

Parameter für dauerstufenübergreifende Extremwertschätzung nach KOUTSOYIANNIS et al. 1998.

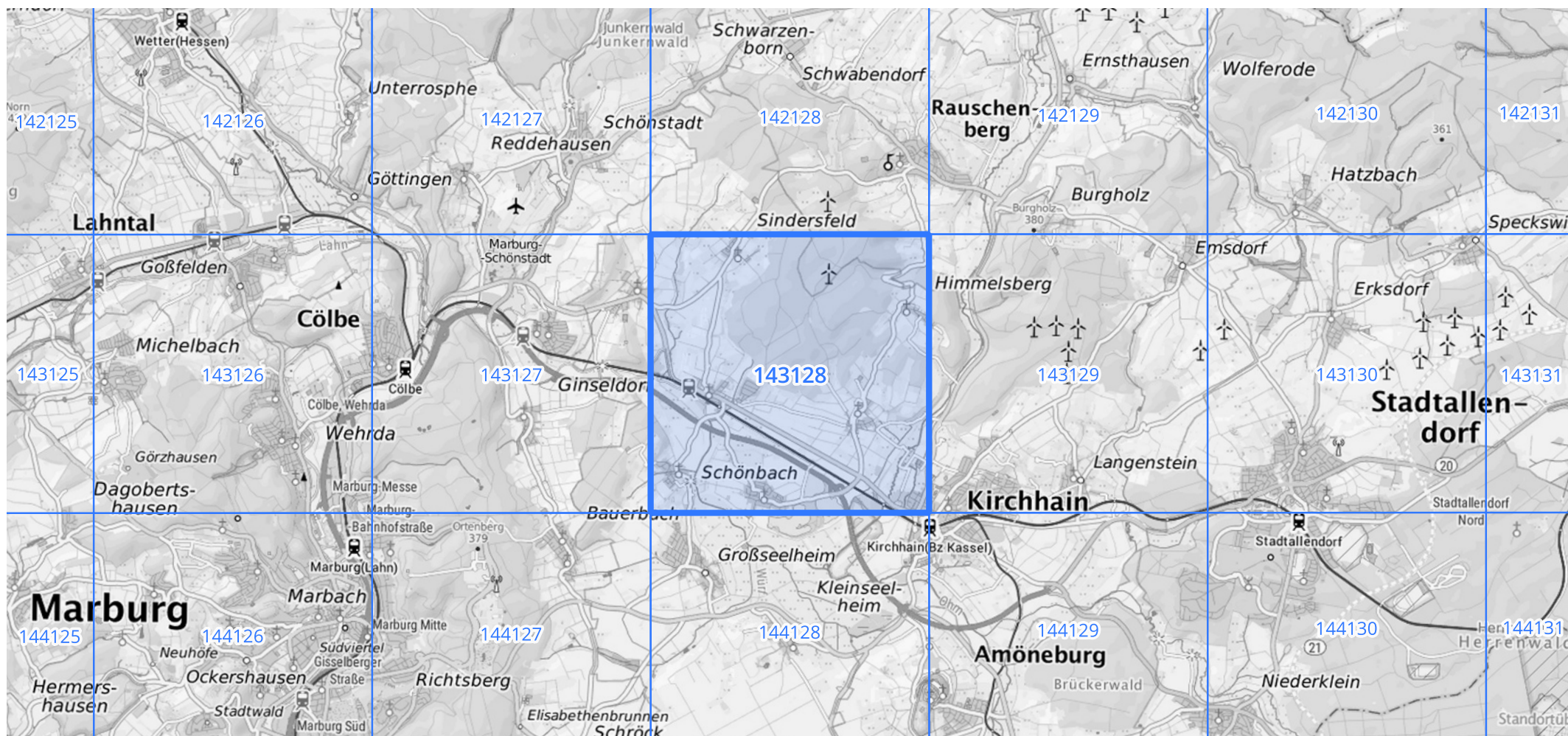
Siehe auch Anwendungshilfe zu KOSTRA-DWD-2020 des Deutschen Wetterdienstes.

# Starkniederschlagshöhen und -spenden gemäß KOSTRA-DWD-2020

## Rasterfeld 143128

(Zeile 143, Spalte 128)

Übersichtskarte des Rasterfeldes 143128, M 1 : 100 000



Quelle Rasterdaten: KOSTRA-DWD-2020 des Deutschen Wetterdienstes, Stand 12/2022.

Seite 3 von 3

Kartendarstellung: © Bundesamt für Kartographie und Geodäsie (2023), Datenquellen: [https://sgx.geodatenzentrum.de/web\\_public/gdz/datenquellen/Datenquellen\\_TopPlusOpen.html](https://sgx.geodatenzentrum.de/web_public/gdz/datenquellen/Datenquellen_TopPlusOpen.html)

Für die Richtigkeit und Aktualität der Angaben wird keine Gewähr übernommen. Erstellt 01/2023.